

高钨墩块材料的组织与性能^①

梁容海 汤金芝 刘红卫

(中南工业大学粉末冶金国家重点实验室, 长沙 410083)

摘要 电镦发动机气门用墩块材料要求具有高的高温硬度, 同时保持一定的韧性和可加工性。所研制的 W₂₅₂, W₂₃₂高钨合金墩块在 800 °C时, HV 值分别为 150 和 169, 其使用寿命比 Cu-W₈₀墩块提高 20 倍以上。用于生产排气门时, 其成品率由 57.8% 提高到 98.2% 以上。

关键词 气门 高温硬度 高钨墩块 电热墩粗

中图法分类号 TF125.2, TG146.4

发动机气门材料的生产, 目前较广泛地采用墩模锻工艺, 即对被墩粗工件直接通电, 使其局部发热至 1150 °C左右, 再在墩粗压力作用下被局部墩粗。然后, 将被墩粗的部分直接进行热模锻成型。显然, 作为墩粗用的墩块将承受着高温和高压力的持续作用, 其工作条件不仅要求墩块材料具有良好的导电、导热等物理性能, 还应具有较高的高温强度、硬度和抗氧化性能。同时, 由于墩粗过程是一个断续的周期性作业, 故墩块材料还将承受着热疲劳应力的反复作用。汽车等运输工具的速度越来越高, 发动机的燃气温度也越来越高, 致使气门材料处在更恶劣的条件下工作, 这就要求气门材料具有更高的耐高温、耐磨性能。目前, 发动机进气门材料一般用 40Cr 钢, 排气门则用 21-4N, 4Cr9Si2Mo 等高强度耐热钢。随着发动机技术的进步, 要求采用更高高温性能的耐热合金钢制备发动机气门阀门, 由此必须研究出一种与其相适应的具有更高高温硬度的墩块材料, 促进我国汽车、内燃机车制造工业的迅速发展。

1 墩块材质研究方案探讨

墩块材料的质量直接影响发动机气门的生

产质量。70 年代起我国就沿用 Cu-W₈₀合金作为墩块材料, 这种材料是以钨为基的铜-钨合金, 具有良好的导电、导热性能^[1]; 由于钨的含量达 80%, 还有较好的高温性能, 与 50~60 年代使用的 3Cr2W8V 工具钢墩块相比, 生产效率与使用寿命均提高约 3 倍。但 Cu-W₈₀合金中 W 不溶于 Cu 中, 是一种假合金^[2], 硬度低。当被其墩粗的工件达到 300~500 件时, 墩块工作面出现深达 2 mm 以上的凹坑。由于凹坑的出现, 发动机气门工件的被墩面在电热墩粗过程中相应出现凸突环状, 以致热模锻时在气门大端面产生园环折叠, 如图 1 箭头所示, 严重影响气门质量。因此, 使用过程中墩块工作面经常需要车平。这样, 不仅影响生产效率, 增加工人劳动强度, 废品率升高, 且墩块的使用寿命也低。要防止凹坑环的出现, 只有提高墩块的高温硬度。在研究高性能材质的墩块时, 在合金中增添高熔点金属能满足要求。从文献[3]查出: 钨是高熔点金属中熔点最高的金属, 且导热率高, 在高温下具有较高的强度和硬度, 是理想的热加工模具材料^[4]。我国有丰富的钨资源, 为提高合金的高温硬度, 钨是理想的候选材料。故本研究方案以钨作为合金的基体相, 选用 Ni, Fe 或 Ni, Cu 作为粘结相并经正交设计方案选择最佳合金组

① 收稿日期: 1999-01-04; 修回日期: 1999-03-10 梁容海, 男, 59岁, 副教授

分,以优化出理想的发动机气门工件镦粗用钨镦块材料,并采用粉末冶金工艺路线制备该合金材料。

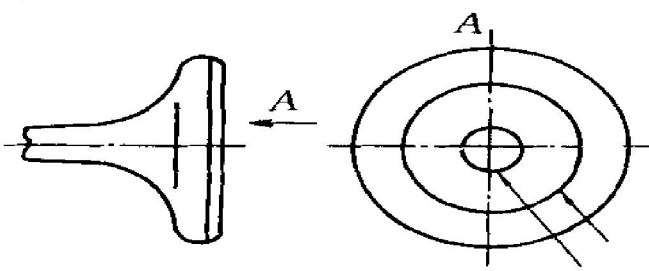


图1 气门大端面的圆环折叠

Fig. 1 Ring fold of large bottom of valve

2 实验方法

2.1 实验材料

本实验采用的原材料性能见表1。

表1 原材料性能

Table 1 Chemical composition and processing property of raw materials

Metal powder	Purity/%	Powder size/ μm
Tungsten	99.8	2.5~3.5
Nickle	99.0	61
Iron	98.0	74
Copper	99.0	43

2.2 合金成分

经实验后选用的合金成分见表2。

表2 实验用合金成分

Table 2 Chemical compositions of heavy alloys(%)

Alloy No.	Ni	Fe	Cu	W
W ₁₃₂	1.5~2.0	—	3.0~4.0	Balance
W ₂₅₂	2.5~3.0	4.5~5.5	—	Balance
W ₂₃₂	1.0~2.0	3.0~4.0	—	Balance
W ₂₂₁	0.5~1.0	2.0~3.0	—	Balance

2.3 工艺路线

所采用的粉末冶金工艺路线如下:

配料、混合 \rightarrow 掺胶 \rightarrow 成形 \rightarrow 预烧结 \rightarrow 烧结 \rightarrow 后处理、加工 \rightarrow 检测 \rightarrow 成品。

(1) 配料、混合

按表2所设计的化学成分计算称量。将称量的粉末倒入混料器中混合18~24 h后出料。

(2) 成形

按混合料的1%~2%称量成型剂进行掺胶,按设计的模具尺寸成形,其成形压力为100~300 MPa。

(3) 预烧结、烧结

成形后的产品经预烧结脱胶,然后根据所设计的组分,分别于1380~1550 °C温度范围内进行烧结,保温2~3 h冷却出炉,再进行后处理、加工。

3 实验结果与分析讨论

3.1 合金组分对镦块性能的影响

选择W-Ni-Cu系和W-Ni-Fe系4种最优组分的合金,经最佳工艺制备的4种合金的高温硬度与温度变化的关系列于表3。

表3 合金硬度与温度变化关系

Table 3 Relationship between hardness and temperatures of heavy alloys

Alloy No.	Hardness		
	HB(Room temperature)	HV (500 °C)	HV (800 °C)
W ₁₃₂	250~300	140	95
W ₂₅₂	260~320	185	150
W ₂₃₂	280~340	196	169
W ₂₂₁	300~360	199	178

从表3看出:3种W-Ni-Fe系合金的硬度随着钨含量的增加而提高。不论是室温硬度值,还是高温硬度值,均相应提高。随着温度的提高,合金的HV值却显著降低。从W-Ni-Cu系合金与W-Ni-Fe系合金比较可知,W-Ni-Fe系合金的性能明显高于W-Ni-Cu系合金,如以W₁₃₂与W₂₃₂比较,在500 °C时,W₂₃₂的硬度比W₁₃₂的高得多,在800 °C则W₂₃₂的高温硬度更高。这是因为W在Ni-Fe中的溶解度高于在Ni-Cu中的溶解度,尽管W在Ni-Cu及Ni-Fe中均有一定的溶解度,但W却难溶于Cu中,W与Cu只能形成假合金,在Ni-Cu固溶体中Cu降低了W在

Ni 中的溶解度。对于 Ni-Fe 固溶体而言, Ni 及 Fe 对 W 均有一定的溶解度, 所以 W-Ni-Fe 系固溶强化效果明显高于 W-Ni-Cu 系的固溶强化效果。而且对于相应组分质量相同的 W-Ni-Fe, W-Ni-Cu 合金而言, W-Ni-Fe 合金烧结温度高出 100 ℃以上, 随着温度的提高, W 在 Ni 中的溶解度提高, 所形成的 W-Ni-Fe 固溶强化效果比 W-Ni-Cu 好, 所以, W-Ni-Fe 系合金的强度、硬度高于 W-Ni-Cu 系合金^[5-8]。

同时从 W-Ni-Cu 与 W-Ni-Fe 的断口形貌(图 2)可以看出, W-Ni-Cu 系合金及 W-Ni-Fe 系合金的固溶体均匀分布在基体钨晶粒周围。粘结相呈韧性断裂, 属典型的蜂窝状结构; W-Ni-Fe 系合金断口形貌中(图 2(a))有较多的钨晶粒为穿晶断裂, 呈扇形撕裂状。而 W-Ni-Cu 系合金的断口的钨晶粒穿晶断裂少得多(图 2(b))。

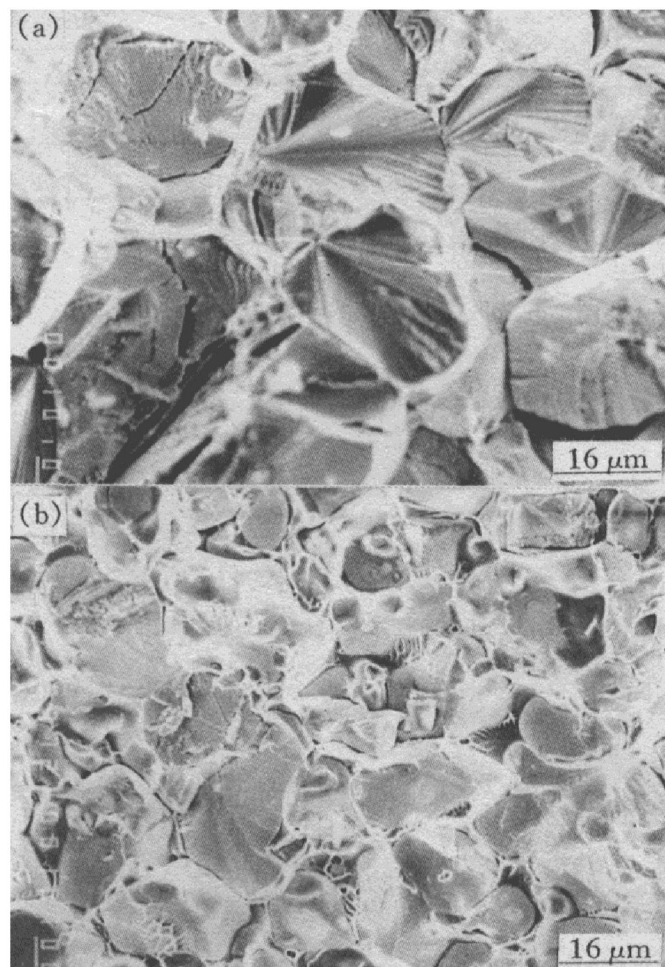


图 2 钨合金断口形貌

Fig. 2 SEM fractographs of W alloys
(a) —W₂₃₂; (b) —W₁₃₂

(b)), 从文献[9]可知拉拔 W 丝的拉伸强度超过 2.81 GPa, 说明 W 晶粒穿晶断裂强度很高。如 W 基合金体系发生 W 晶粒穿晶断裂, 该合金将具有高的力学性能。

3.2 影响钨合金镦块寿命机理探讨

将研制的钨合金镦块送至国内几个主要气门生产厂家进行试验, Cu-W₈₀ 镦块由于高温硬度低, 镦粗气门工件不到 400 件即在镦块面上出现较深的凹坑(图 3(a)); 而 W₂₂₁ 钨合金由于钨含量高达 97%, 尽管其高温硬度值较高, 但由于高的钨含量导致合金的脆性增加, 韧性降低, 当电镦块镦粗至一定厚度时便出现镦裂或表面龟裂的现象(图 3(b))。由于镦块 W₂₃₂ 中的粘结相含量比 W₂₂₁ 高, 因此合金的韧性高于 W₂₂₁ 镦块, 图 3(c) 显示 W₂₃₂ 镦块在生产了 1500 件气门后, 在镦面出现的小圆环凹坑, 它仍不影响热模锻后气门大端面的质量。该种合金在电镦 21-4N 等耐高温、耐磨蚀的工具钢时, 具有更高的使用寿命。从上述可见, 要使镦块合金具有高的高温硬度和较好的韧性, 必须选择适当的钨含量与粘结相, 这样才能保证镦块材料具有长的使用寿命。

3.3 钨合金镦块使用效益分析

前面讨论了镦块使用寿命与材质的关系, 现对使用效益进行分析, 首先讨论试验的基本情况。

试验用的镦机类型: 多工位的竖式电镦机, 单工位的卧式电镦机。

电镦用的气门材料: 进气门 38CrSi; 排气门 4Cr9Si2Mo, 21-4N, 10Cr9Si2Mo。

电镦粗工件尺寸规格: d 8.5~13.5 mm

电镦工艺参数: 功率 30 kVA, 二次电压 2~4 V; 工作压力 20 kN, 工作温度: 1 150 ± 20 ℃

几家气门厂的镦块实际使用寿命对比数据列于表 4。

从表 4 可看出: W₂₃₂ 镦块使用效果最理想, 如上节所述, W₂₃₂ 镦块不但具有高的高温硬度, 同时还具有好的韧性, 是一种理想的镦块材料。

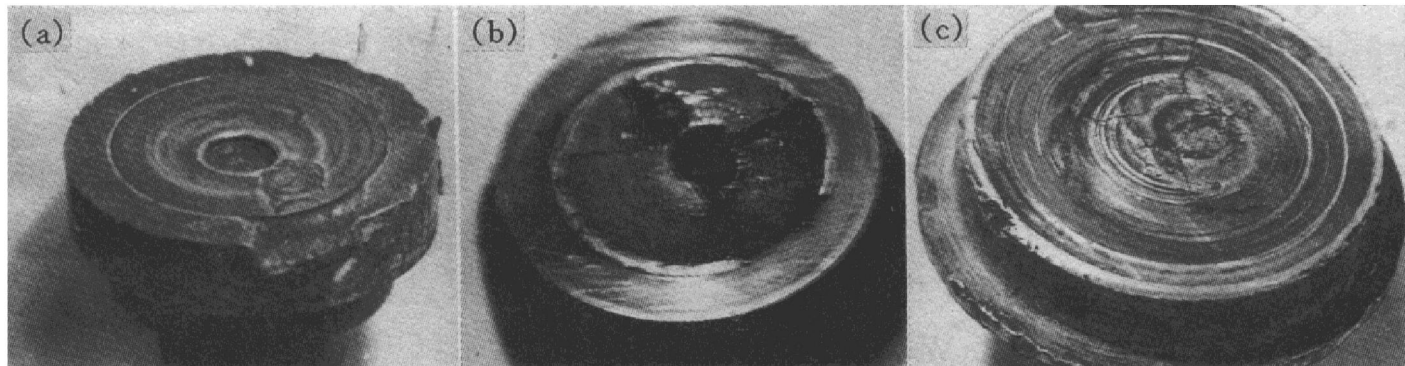


图3 不同材质的镦块使用损坏后的情况

Fig. 3 Photographs of die blocks with different materials after used(a) —CuW₈₀; (b) —W₂₂₁; (c) —W₂₃₂

表4 镦块材料的使用寿命对比

Table 4 Comparison of service lives of different die materials

Alloy No.	Machine model	Service life	Relative service life	Ratio of waste products
3Cr2W8V	Multir position(erecting)	200~ 300	0. 6	50. 00~ 60. 00
CuW ₈₀	Multir position(erecting)	300~ 500	1. 0	30. 00~ 40. 00
W ₁₃₂	Single position(laying)	1200~ 1600	3. 0~ 4. 0	20. 00~ 30. 00
W ₂₅₂	Single position(laying)	1500~ 1700	20. 0~ 23. 0	18. 00
W ₂₃₂	Single position(laying)	10000~ 19000	30. 0	1. 80

Relative service life is calculated by referencing CuW₈₀ alloy

从几个工厂试用的情况来看，钨合金镦块材料比 CuW₈₀合金镦块使用寿命得到明显提高，并取得了较好的经济效益。

由上述试验可以看出：

(1) 钨合金镦块的使用寿命比 CuW₈₀的提高 10~ 30 倍。

(2) 气门成本费用大大降低

某厂按生产 100 000 件气门统计，与使用 CuW₈₀合金相比，仅镦块材料费就节约 80% 以上。

生产的气门质量提高，成品率由过去的 57. 8% 提高至 98. 2%，使成本大大降低。

由于成品率提高，气门的大端面不需加工，节约了气门钢材。

(3) 提高了生产效率，改善了劳动条件。因钨合金镦块的高温硬度提高，2~ 3 个班才车削一次，而 CuW₈₀每班要车削 3 次以上，通过减少车削次数与换镦块的时间而改善了劳动条件，提高了生产率。

此外，钨合金镦块与基座联结工艺也是提

高镦块使用寿命的重要因素之一^[10]。

4 结论

(1) 研制的高钨合金 W₂₅₂, W₂₃₂镦块，Ni, Fe 含量在 5%~ 7%，保证了镦块的高温硬度及良好的韧性，在 800 °C 下，HV 值分别为 150 和 169，是一种理想的电镦发动机气门用的镦块材料。

(2) 高钨合金镦块的使用寿命是 CuW₈₀合金的 20 倍以上，气门废品率减少约 40%，成本降低 30% 以上，同时改善了劳动条件，提高了生产率。

REFERENCES

- 1 Zhao Muyue(赵慕岳), Wang Fusheng(王伏生) and Liang Ronghai(梁容海). Mechanical Engineering Materials(机械工程材料), 1978, (3): 1~ 8.
- 2 Wang Fusheng, Zhou Zaiming and Liang Ronghai. Trans

- Nonferrous Met Soc China, 1993, 3(3): 36– 41.
- 3 Zilimfrman A H. Rare Metal Metallurgy. Beijing: Metallurgical Industry Press, 1959: 13, 49.
- 4 Peng Shaofang. Woltram Metallurgy. Beijing: Metallurgical Industry Press, 1981: 2.
- 5 Wang Fusheng(王伏生), Liang Ronghai(梁容海) and Zhou Zaiming(周载明). Journal of Central South University of Technology(中南工业大学学报), 1996, 27(6): 700.
- 6 Wang Fusheng(王伏生) and Zhao Muyue(赵慕岳). Powder Metallurgy Materials Science and Engineering(粉末冶金材料科学与工程), 1997, 2(2): 114.
- 7 Wang Fusheng(王伏生), Liang Ronghai(梁容海) and Zhou Zaiming(周载明). Journal of Central South Institute of Mining and Metallurgy(中南矿冶学院学报), 1994, 25(4): 494.
- 8 Wang Fusheng(王伏生), Liang Ronghai(梁容海) and Zhou Zaiming(周载明). The Chinese Journal of Nonferrous Metals(中国有色金属学报), 1992, 2(Suppl. 5): 92.
- 9 Eugene G et al. Journal of the Less Common Metals, 1993, (32): 345.
- 10 Liang Ronghai(梁容海) and Xiong Xiangjun(熊湘君). Rare Metal and Cemented Carbides(稀有金属与硬质合金), 1998, (3): 4.

HIGH TUNGSTEN ELECTRICAL UPSETTING DIE BLOCKS MATERIAL

Liang Ronghai, Tang Jinzhi and Liu Hongwei

State Key Laboratory for Powder Metallurgy,

Central South University of Technology, Changsha 410083, P. R. China

ABSTRACT Upsetting die blocks materials used for fabricating engine valve should possess excellent red hardness, and certain toughness and good processing ability. The service life of upsetting die block made of W₂₅₂ or W₂₃₂ high tungsten alloy studied is over 20 times more than that made from Cu-W₈₀ alloy by long-run confirmation tests. Especially in fabrication of exhaust valve, the finished product ratio has increased to 98.2% from previous 57.8%.

Key words valve red hardness high tungsten upsetting die blocks material electric upsetting

(编辑 黄劲松)